

# بهبود کارایی روش سنتی آشکارسازی چهره

## مبتنی بر ماشین بردار پشتیبان

مجید روحی، قاسم میرجلیلی و محمدتقی صادقی

می باشد. برای داشتن یک سیستم آشکارسازی دقیق و مطلوب نیاز به طبقه‌بندی کننده‌ای است که بتواند یک مجموعه وسیع از داده‌های آموزشی با ابعاد بزرگ را حمایت کند. یک گرینه مناسب برای تحقق این هدف، ماشین بردار پشتیبان<sup>2</sup> (SVM) می‌باشد. ماشین بردار پشتیبان یک روش برای طبقه‌بندی الگو است که برای اولین بار توسط Vapnik معرفی شد [2] و [3]. هدف ما در این مقاله، بهبود روش سنتی آشکارسازی چهره مبتنی بر ماشین بردار پشتیبان می‌باشد. ساختار این مقاله بدین صورت است: در بخش دوم، اصول ماشین بردار پشتیبان به‌طور خلاصه بیان می‌شود. در بخش سوم، روش سنتی آشکارسازی چهره با استفاده از ماشین بردار پشتیبان معرفی می‌شود. در بخش چهارم روش پیشنهادی مطرح گردیده و در نهایت در بخش آخر، نتایج شبیه‌سازی ارائه می‌شود.

### 2 - ماشین بردار پشتیبان

در این بخش به‌طور خلاصه، ماشین بردار پشتیبان (SVM) به عنوان یک طبقه‌بندی کننده معرفی می‌شود [2] تا [5].

ابتدا ساده‌ترین حالت که در آن داده‌ها به‌طور خطی جداپذیر هستند را در نظر بگیرید. فرض کنید  $D = \{(X_i, y_i)\}_{i=1}^l$  یک مجموعه داده شامل  $l$  نمونه  $X_i$  با برجسب‌های  $y_i \in \{-1, 1\}$  از دو کلاس (چهره و غیر چهره) باشد. حال می‌خواهیم این دو کلاس را به‌طور خطی از هم جدا کنیم. در نگاه اول می‌توان تعداد زیادی فوق صفحه برای جداکردن این دو مجموعه در نظر گرفت. حال این سؤال پیش می‌آید که کدام یک از این فوق صفحات جداکننده بهینه می‌باشد و کمترین خطای را برای جداسازی ایجاد می‌کند؟ به‌طور حسی می‌توان گفت که مناسب‌ترین انتخاب، صفحه‌ای است که بیشترین حاشیه را بین دو کلاس ایجاد کند. بنابراین، حاشیه مجموع فاصله نزدیک‌ترین نقطه از هر دو کلاس تا صفحه جداکننده می‌باشد (شکل 2).

حال فرض کنید داده‌ها به‌طور خطی جداپذیر نباشند. باز هم می‌توان مانند حالت قبل، فوق صفحه‌ای را تعیین کرد که دو کلاس را به‌طور خطی با بیشترین حاشیه و کمترین خطای از هم جدا کند. تعادل بین حاشیه و خطای نمونه‌های غلط طبقه‌بندی شده را می‌توان توسط مقدار مثبت  $C$  که از قبل تعیین می‌شود کنترل کرد. در این حالت می‌توان نشان داد که تابع تصمیم‌گیری  $f(x) = \text{sign}(\sum_{i=1}^l \lambda_i y_i X^T X_i + b)$  به فرم زیر بیان می‌شود

$$f(x) = \text{sign}(\sum_{i=1}^l \lambda_i y_i X^T X_i + b) \quad (1)$$

که  $\lambda_i$  ها ضرایب لاین‌لر حاصل از حل معادله زیر می‌باشند

چکیده: در این مقاله ایده‌هایی برای بهبود کارایی روش سنتی آشکارسازی چهره با استفاده از ماشین بردار پشتیبان، پیشنهاد شده است. در روش سنتی، ابتدا تصویر ورودی به پنجره‌هایی همپوشان با ابعاد ثابت تقسیم و در نهایت برای هر پنجره در مورد این که حاوی چهره هست یا نه، تصمیم‌گیری می‌شود. نرخ آشکارسازی و خطای هشدار غلط این روش خیلی مطلوب نیست. در این مقاله برای بهبود کارایی، بهجای استفاده از پنجره با ابعاد ثابت از پنجره‌هایی با اندازه‌های مختلف استفاده می‌شود. هر پنجره دارای دقت خاصی در آشکارسازی است. در این روش، تصمیمات حاصل از به کارگیری پنجره‌های مختلف روی یک ناحیه از تصویر، با هم ادغام می‌شوند. همچنین در این مقاله از یک سطح تصمیم‌گیری وفقی برای تصمیم‌گیری در خروجی طبقه‌بندی کننده استفاده شده است. از طرفی بهجای این که تصمیم‌گیری برای هر پنجره فقط متنکی بر خروجی ماشین بردار پشتیبان باشد، از معیارهای شbahat سنجی بین پنجره مربوطه با مدلی از چهره برای تصمیم‌گیری نهایی استفاده می‌گردد. نتیجه به کارگیری این ترفند، افزایش نرخ آشکارسازی و همچنین کاهش خطای هشدار غلط است. نتایج شبیه‌سازی با استفاده از مجموعه داده استاندارد، این مسئله را تأیید می‌کند.

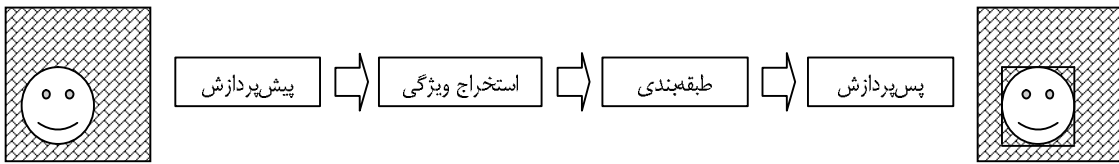
**کلید واژه:** آشکارسازی چهره، ادغام تصمیمات، ماشین بردار پشتیبان.

### 1 - مقدمه

مسئله آشکارسازی چهره در دو دهه اخیر به‌طور خاص مورد توجه محققین قرار گرفته است. این توجه به علت کاربردهای فراوان آن در سیستم‌های بازشناسی چهره، طراحی رابطه‌های بین انسان و ماشین، سیستم‌های نظارتی و امنیتی و ... است. آشکارسازی چهره در واقع مشخص کردن محل قرارگرفتن چهره انسان در یک تصویر داده شده صرف نظر از تغییرات حالت صورت، تغییرات وضع قرارگرفتن صورت (تیمرخ، تمام رخ و ...) و تغییرات روشنایی تصویر است. برای این کار نیاز به تابعی برای تفکیک کردن الگوهای چهره از سایر الگوهای می‌باشد [1]. هر سیستم آشکارسازی چهره شامل چهار بخش اصلی است که هر کدام به سه‌هم خود دارای اهمیت است (شکل 1). این بخش‌ها شامل پیش‌پردازش، استخراج ویژگی‌ها، طبقه‌بندی کننده و پس‌پردازش<sup>1</sup> می‌باشد. یکی از مشکلات سیستم‌های آشکارسازی چهره از یک طرف نیاز به تعداد زیاد نمونه‌ها برای آموزش و از طرف دیگر زیاد بودن تعداد ویژگی‌ها برای بیان هر نمونه یا به عبارت دیگر بزرگ‌بودن بعد داده

این مقاله در تاریخ 3 اردیبهشت ماه 1387 دریافت و در تاریخ 8 دی ماه 1387 بازنگری شد. این تحقیق توسط مرکز تحقیقات مخابرات ایران پشتیبانی شده است. مجید روحی، قاسم میرجلیلی و محمدتقی صادقی، دانشکده مهندسی برق و کامپیوتر، دانشگاه یزد، (emails: majid\_roohi@yahoo.com, mirjalily@yazduni.ac.ir, m.sadeghi@yazduni.ac.ir).

1. Post Processing



شکل ۱: شماتیکی یک سیستم آشکارسازی چهره.

جدول ۱: تابع کرنل معروف [۳].

نوع طبقه‌بندی کننده	تابع کرنل
Gaussian RBF	$K(X, X_i) = \exp(-\ X - X_i\ ^2)$
Ploynomial of degress	$K(X, X_i) = (X^T X_i + 1)^d$
Multi Layer Perceptron	$K(X, X_i) = \tanh(X^T X_i - \theta)$

ها از حل معادله‌ای مشابه با (۲) به دست می‌آیند با این تفاوت که  $D_{ij} = y_i y_j K(X_i, X_j)$  در نظر گرفته می‌شود. جدول ۱، تعدادی از توابع کرنل معروف که معمولاً در آموزش ماشین بردار پشتیبان از آنها استفاده می‌شود را نشان می‌دهد.

نکته دیگری که باید در اینجا به آن توجه کرد روشی است که برای حل (۲) یا به عبارتی برای آموزش ماشین بردار پشتیبان استفاده می‌شود. این روش اولاً باید قابل استفاده برای چنین مسأله‌ای با تعداد داده‌های زیاد و ابعاد بزرگ باشد، دوم این که از سرعت خوبی برخوردار باشد و در نهایت به یک جواب بهینه همگرا شود. تاکنون روش‌های مختلفی برای آموزش ماشین بردار پشتیبان مطرح شده است [۶]. در این مقاله از روش معروف  $SVM^{light}$  [۷] که سرعت بالایی دارد، استفاده شده است.

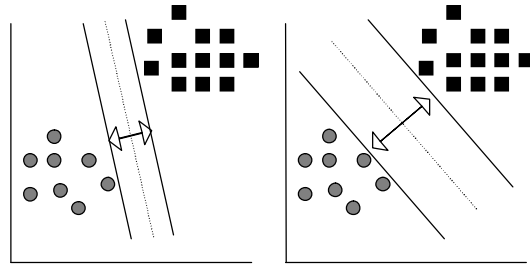
### 3- روش سنتی آشکارسازی چهره با استفاده از ماشین بردار پشتیبان

روش‌های مختلفی برای پیاده‌سازی الگوریتم آشکارسازی چهره بر اساس ماشین بردار پشتیبان مطرح شده است. معروف‌ترین این روش‌ها روشی است که توسط Osuna بیان شد [۴]. این روش، اساس روش‌های ابداعی دیگر قرار گرفت. در اکثر کارهای جدید از ایده به کارگیری روش‌های سلسه مراتبی برای کاهش پیچیدگی و استفاده از تابع کرنل و پیش‌پردازش‌های مختلف برای بهبود سیستم استفاده شده است [۸] تا [۱۳]. ما در این مقاله از ایده جدید ادغام تصمیمات و استفاده از روش‌های وفقی برای افزایش کارایی استفاده کردی‌ایم. الگوریتم پایه Osuna برای آموزش ماشین بردار پشتیبان به شرح زیر می‌باشد:

ابتدا سیستم با یک پایگاه داده از الگوهای  $19 \times 19$  پیکسلی چهره و غیره چهره، آموزش داده می‌شود. این فرایند از یک تابع کرنل چندجمله‌ای درجه دوم با حد بالایی  $C=200$  برای داشتن یک خطای آموزشی مناسب تصاویر از یک سری پیش‌پردازش‌ها استفاده می‌شود. این پیش‌پردازش‌ها شامل ماسک کردن<sup>۱</sup>، اصلاح نور و همسان‌سازی هستیوگرام می‌باشد.

بعد از آموزش ماشین بردار پشتیبان، می‌توان از آن به عنوان یک طبقه‌بندی کننده به صورت زیر استفاده کرد:

- انجام مقیاس‌بندی<sup>۲</sup> مکرر روی تصویر ورودی با ضریب مقیاس ۰.۱/۲.
- انتخاب الگوهایی به ابعاد  $19 \times 19$  پیکسلی از تصویر مقیاس‌بندی شده به کمک یک پنجره لغزنده با ابعاد ثابت.



شکل ۲: مرزهای جداکننده دو کلاس [۲].

$$\begin{aligned} & \text{Minimize}_{\Lambda} \quad W(\Lambda) = -\Lambda^T I + \frac{1}{2} \Lambda^T D \Lambda \\ & \text{subject to} \quad \Lambda^T y = 0 \\ & \quad \Lambda - CI \leq 0 \\ & \quad -\Lambda \leq 0 \end{aligned} \quad (2)$$

و  $(I)_i = 1$  و  $(\Lambda)_i = \lambda_i$  یک سری ضرایب لاگرانژ غیر صفر می‌رسیم که متناظر با تعدادی از داده‌های آموزشی هستند. البته تعدادشان نسبت به تعداد کل داده‌های موجود در پایگاه داده آموزشی کم می‌باشد. بقیه ضرایب هم که متناسب با دیگر داده‌ها هستند، صفر می‌شوند. به داده‌هایی که ضریب لاگرانژ متناظر با آنها غیر صفر می‌باشد، بردار پشتیبان می‌گویند. بردارهای پشتیبان روی مرز بین دو کلاس قرار می‌گیرند [۲].

در عمل استفاده از طبقه‌بندی کننده خطی جهت جداکردن داده‌های غیر خطی، سبب کاهش چشم‌گیر کارایی می‌شود. لذا بهتر است از طبقه‌بندی کننده غیر خطی استفاده شود. این کار به راحتی با تصویر کردن داده‌ها به یک فضای ویژگی با ابعاد بالاتر امکان‌پذیر می‌باشد.

$$X \in R^d \Rightarrow Z(X) \equiv (\phi_1(X), \dots, \phi_n(X)) \in R^n \quad (3)$$

حال می‌توان روابط مربوط به طبقه‌بندی کننده خطی را در این فضای جدید نوشت. در نتیجه، تابع تصمیم‌گیری مربوط به این حالت به فرم زیر تبدیل می‌شود

$$f(x) = \text{sign} \left( \sum_{i=1}^l \lambda_i y_i Z^T(X) Z(X_i) + b \right) \quad (4)$$

نکته کلیدی درباره ماشین بردار پشتیبان این است که برای محاسبه تابع تصمیم‌گیری، تنها مقداری که باید محاسبه شود حاصل ضرب نقطه‌ای  $Z^T(X)Z(X_i)$  می‌باشد. برای راحتی کار، تابع کرنل  $K$  معرفی می‌شود

$$Z^T(X)Z(Y) = \sum_{i=1}^l \alpha_i \phi_i(X) \phi_i(Y) = K(X, Y) \quad (5)$$

که  $\{\alpha_i\}_{i=1}^l$  و  $\{\phi_i\}_{i=1}^l$  به ترتیب یک سری اعداد و تابع حقیقی می‌باشند. به این ترتیب، تابع تصمیم‌گیری به فرم زیر تبدیل می‌شود

$$f(x) = \text{sign} \left( \sum_{i=1}^l \lambda_i y_i K(X, X_i) + b \right) \quad (6)$$

علت انتخاب پنجره‌هایی با این ابعاد، این است که این پنجره‌ها هر یک به تنها ی توسط سایر محققان در کاربردهای مرتبط با پردازش چهره مورد استفاده قرار گرفته است. ما در این مقاله از ادغام تصمیمات حاصل از به کارگیری پنجره‌های مختلف استفاده کردیم.

**نکته دوم:** در ماشین بردار پشتیبان از یک سطح آستانه ثابت ( $T$ ) برای تصمیم‌گیری استفاده می‌شود. اگر مقدار تابع تصمیم‌گیری ( $f(X)$ ) از مقدار آستانه کوچک‌تر بود، الگو، غیر چهره تشخیص داده می‌شود و اگر مقدار تابع تصمیم‌گیری ( $f(X)$ ) از مقدار آستانه بزرگ‌تر بود، الگو، چهره تشخیص داده می‌شود.

در مرحله آموزش اگر نمونه‌های چهره و غیر چهره به گونه‌ای باشند که یک طبقه‌بندی کننده خطی بدون خطای داشته باشیم، این سطح آستانه را می‌توان برابر صفر انتخاب کرد. در عمل، پراکنده‌گی غیر چهره‌ها به اندازه‌ای است که یک طبقه‌بندی کننده خطی نمی‌توان طراحی کرد و باید از طبقه‌بندی کننده غیر خطی استفاده کرد. این عمل، خطای طبقه‌بندی را به دنبال دارد به گونه‌ای که ممکن است تعدادی از نمونه‌های هر طبقه در طبقه‌ای دیگر قرار گیرد. مقدار سطح آستانه برای تصمیم‌گیری در این حالت نقش مهمی در نرخ آشکارسازی و همچنین نرخ هشدار غلط دارد.

در روش پیشنهادی، از یک سطح آستانه وققی برای تصمیم‌گیری در خروجی طبقه‌بندی کننده استفاده می‌شود. این سطح آستانه به ازای هر تصویر جداگانه محاسبه می‌شود. بدین منظور، ابتدا تصویر تحت آزمایش توسط پنجره مورد نظر قطعه‌بندی می‌شود. سپس هر قطعه به برداری از ویژگی‌ها (که در اینجا همان پیکسل‌های تصویر می‌باشند)، تبدیل می‌شود. در نهایت برای کل قطعه‌ها، ماتریسی از ویژگی‌ها خواهیم داشت به گونه‌ای که تعداد سطرهای این ماتریس بیانگر تعداد قطعه‌ها و تعداد ستون‌ها بیانگر تعداد ویژگی‌ها می‌باشد. حال برای هر قطعه، مقدار تابع تصمیم‌گیری محاسبه و تفاوت آن از سطح صفر تعیین می‌شود. از مقدادر به دست آمده به ازای کلیه قطعات، یک بردار ستونی ایجاد می‌شود. در نهایت مقادیر منفی از این بردار حذف شده، میانگین بقیه مقادیر به عنوان سطح آستانه تصمیم‌گیری انتخاب می‌شود (شکل 3).

پس از انتخاب سطح آستانه، مقدار تابع تصمیم‌گیری هر قطعه با این سطح جدید مقایسه می‌شود. اگر از این سطح بزرگ‌تر بود، قطعه معادل آن به عنوان چهره و در غیر این صورت غیر چهره تشخیص داده می‌شود. این روند برای مقایسه‌بندی‌های مختلف یک تصویر تکرار می‌شود.

نتایج بیانگر این است که انتخاب وققی سطح آستانه باعث بهبود نرخ آشکارسازی و کاهش خطای هشدار غلط به میزان قابل قبولی می‌شود. دلیل انتخاب شیوه فوق برای تعیین سطح آستانه را می‌توان بدین صورت بیان کرد: در یک تصویر معمولی و با تعداد چهره‌های محدود با قاطعیت می‌توان گفت که تعداد پنجره‌های مربوط به اجزای غیر چهره به مراتب بیشتر از پنجره‌های مربوط به چهره است. برای اکثر این گوهای غیر چهره، مقدار تابع تصمیم‌گیری ماشین بردار پشتیبان کمتر از صفر است. برای تعداد محدودی از این غیر چهره‌ها، تابع تصمیم‌گیری دارای مقداری مثبت می‌باشد. اگر سطح تصمیم‌گیری را صفر در نظر بگیریم، این نمونه‌های غیر چهره، به اشتباہ چهره تشخیص داده می‌شوند. بررسی‌های ما نشان داد که فاصله این نمونه‌های غلط طبقه‌بندی شده از سطح آستانه صفر بسیار کم است. از طرف دیگر مقدار تابع تصمیم‌گیری برای نمونه‌های چهره بزرگ‌تر از صفر بوده و اکثرشان فاصله قابل قبولی از سطح صفر دارند. همچنین فاصله بین نمونه‌های چهره و نمونه‌های غیر چهره‌ای که بزرگ‌تر از صفر هستند قابل ملاحظه است، ولی مرز مشترک بین این دو دقیقاً قابل محاسبه نیست. با استفاده از این روش

- انجام پیش‌پردازش‌های اولیه از قبیل ماسک‌کردن، اصلاح نور و همسان‌سازی هیستوگرام روی الگوهای  $19 \times 19$  پیکسلی.

- طبقه‌بندی الگوی آماده شده با ماشین بردار پشتیبان (ابطه 6).

- اگر الگو چهره بود، کشیدن یک مستطیل با ابعاد  $19 \times 19$  در محل قرارگرفتن الگو.

در سال‌های اخیر تلاش‌هایی برای بهبود این روش صورت گرفته است. ایده‌های جدید، یا مبتنی بر تغییر در ساختار ماشین بردار پشتیبان و نحوه آموزش آن و یا بر اساس تغییر در نحوه استخراج ویژگی‌ها و انجام پیش‌پردازش می‌باشند. باید توجه کرد که هدف از به کارگیری این ایده‌ها، یا افزایش سرعت در رسیدن به جواب و یا رسیدن به نرخ آشکارسازی بالاتر و خطای هشدار غلط کمتر می‌باشد. از ایده‌های مهمی که برای استفاده مؤثر از ماشین بردار پشتیبان در آشکارسازی چهره در سال‌های اخیر مطرح شده، می‌توان به استفاده از روش‌های ICA<sup>2</sup>، PCA<sup>1</sup> و DFA<sup>3</sup> و [10] اشاره کرد. همچنین از هیستوگرام طیف [11] برای استخراج ویژگی‌ها و طبقه‌بندی کننده‌های سلسه مراتبی [12] و [13] برای افزایش سرعت نیز استفاده شده است. در این تحقیق، روشی جدید پیشنهاد شده است [14] تا [16].

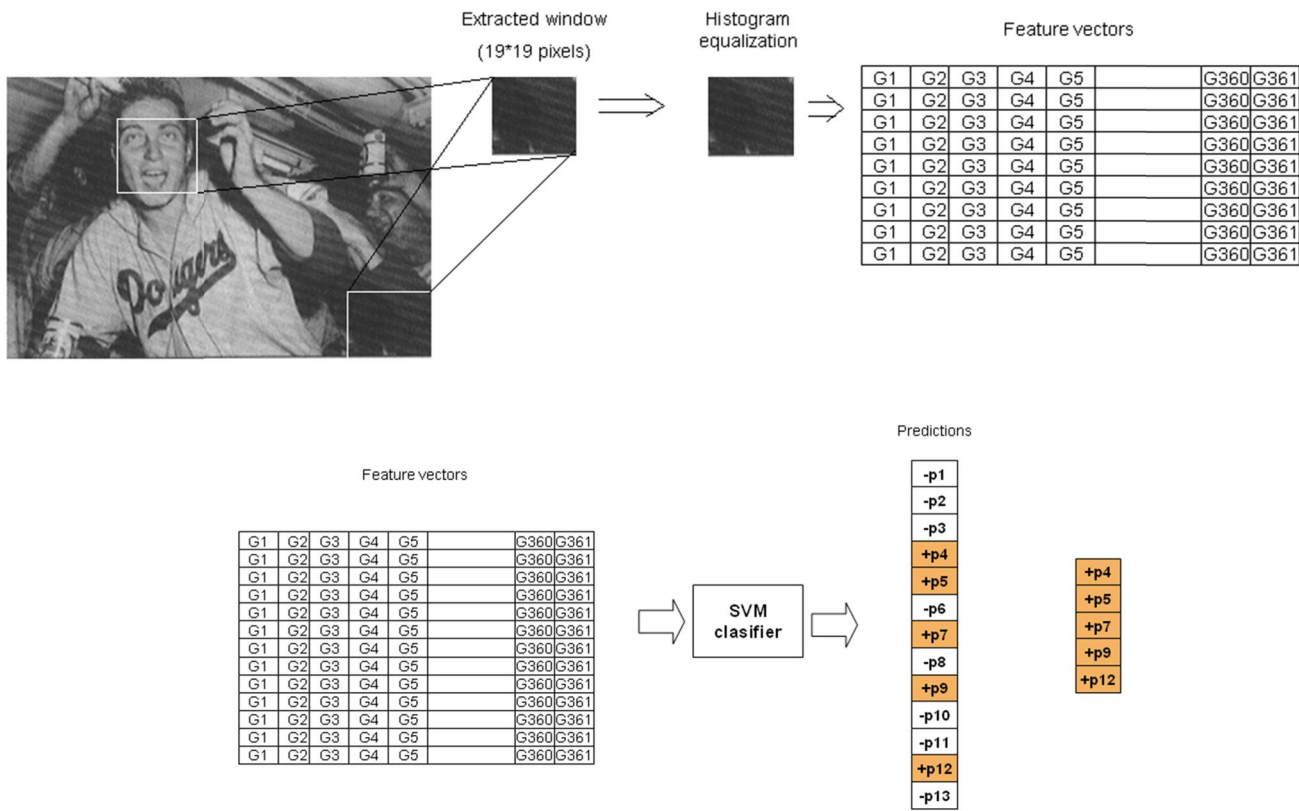
#### 4- روش پیشنهادی

با بررسی کارهای انجام شده به سه نکته قابل توجه می‌رسیم که محققین کمتر به آن پرداخته‌اند.

**نکته اول:** در تمام روش‌های موجود، برای آشکارسازی چهره با استفاده از ماشین بردار پشتیبان از پنجره‌ای با ابعاد ثابت برای قطعه‌قطعه کردن تصویر ورودی استفاده می‌شود (همانند الگوریتم Osuna که ابعاد پنجره  $19 \times 19$  است). استفاده از پنجره ثابت  $19 \times 19$  برای تصاویری که شامل چهره‌های بزرگ می‌باشند، مناسب نیست. در چنین تصاویری، چهره در مرحله مقایسه‌بندی مکرر باید به اندازه‌ای کوچک شود که داخل پنجره استفاده شده قرار گیرد. در چنین حالتی کیفیت و دقت<sup>4</sup> چهره خیلی کم شده و ممکن است طبقه‌بندی کننده آن پنجره را به عنوان چهره تشخیص ندهد. بنابراین برای این که کیفیت چهره از بین نزود، بهتر است از پنجره‌هایی با ابعاد بزرگ‌تر از  $19 \times 19$  استفاده شود. از طرفی گاهی شکل چهره به گونه‌ای است که در یک قاب مربعی جا نمی‌گیرد. لذا استفاده از یک پنجره مربعی ممکن است باعث شود بخشی از چهره حذف شود و در نتیجه چهره آشکار نشود. بنابراین استفاده از پنجره‌های مستطیلی می‌تواند به بهبود آشکارسازی چهره کمک کند.

با توجه به دلایل فوق، اساس کار روش پیشنهادی، استفاده از پنجره‌هایی با ابعاد گوناگون می‌باشد. به این ترتیب که بعد از آموزش سیستم و در مرحله آشکارسازی، علاوه بر این که در مقایسه‌های متفاوت از پنجره‌ای با ابعاد  $19 \times 19$  استفاده می‌شود، از پنجره‌هایی با ابعاد  $49 \times 49$ ،  $50 \times 50$  و  $27 \times 27$  نیز استفاده می‌شود (این عمل به صورت موازی انجام می‌گیرد). هر پنجره دارای دقتی خاص در آشکارسازی است. در نهایت، تصمیمات حاصل از به کارگیری پنجره‌های مختلف با هم OR می‌شوند. این کار نرخ آشکارسازی را افزایش می‌دهد.

1. Principal Component Analysis
2. Independent Component Analysis
3. Discriminating Feature Analysis
4. Resolution



$$T = \frac{p_4 + p_5 + p_7 + p_9 + p_{12}}{5}$$

شكل 3: شیوه تعیین سطح وفقی.

تصمیم‌گیری فقط بر اساس خروجی ماشین بردار پشتیبان می‌باشد. این کار باعث می‌شود تا روش سنتی Osuna دارای نرخ آشکارسازی کم و خطای هشدار غلط زیاد باشد.

در روش پیشنهادی، اساس کار استفاده از پنجره هایی با ابعاد گوناگون، استفاده از یک سطح آستانه وفقی برای تضمیم گیری و همچنین استفاده از معیارهای شباختستی جو در خروجی طبقه بندی کننده می باشد.

نکته قابل ذکر این که الگوریتم  $SVM^{light}$  که در این تحقیق از آن استفاده شده است بهزاری هر قطعه ورودی (منتظر بردار و پرگی معادل مم، باشد)، در خروجی، مقدار انحراف از سطح صفر را تعیین می‌کند.

نکته مهمی که باید بدان اشاره کرد این است که پس از اتمام مراحل آشکارسازی یک تصویر، بهدلیل استفاده از پنجره‌هایی با ابعاد مختلف ممکن است که اطراف یک چهره، مستطیل‌هایی با اندازه‌های گوناگون کشیده شود. همچنین قسمت‌هایی وجود دارد که غیر چهره می‌باشند ولی به اشتباه چهره تشخیص داده شده و خطأ محسوب می‌شوند. برای کاهش خطأ و معلوم کردن هر چهره با یک مستطیل، باید از روش شمارش مستطیل‌ها در یک ناحیه خاص استفاده نمود. بدین منظور با شمارش مستطیل‌ها، محلی که تعداد مستطیل‌های آن از حد معلومی بیشتر بود را چهره در نظر گرفته و با یک مستطیل مناسب مشخص می‌کنیم. جایی که تعداد مستطیل‌های آن از این حد کمتر بود، غیر چهره است و لذا مستطیل‌های کشیده شده را حذف می‌کنیم. دلیل استفاده از این روش به خاطر این است که در اکثر موارد، تعداد مستطیل‌های اطراف ناحیه چهره بیشتر از تعداد مستطیل‌های کشیده شده اطراف نواحی غیر چهره (که به اشتباه چهره تشخیص داده شده‌اند) می‌باشد.

می‌توان مرز مناسبی را بین این دو دسته مشخص کرد. سطح آستانه تعیین شده دارای دو خصوصیت است. اولاً بزرگ‌تر از صفر است، لذا نمونه‌های با فاصله کوچک‌تر از صفر حذف می‌شوند. ثانیاً احتمال از دستدادن چهره‌ها به حداقل می‌رسد و همچنین میزان خطای هشدار غلط به میزان قابل قبول، کاهش می‌یابد.

نکته سوم: نداشتن پسپردازش در خروجی ماشین بردار پشتیبان در روش سنتی است. در واقع این خروجی مستقیماً به عنوان چهره یا غیر چهره در نظر گرفته می‌شود. این عمل باعث می‌شود که تصمیم‌گیری فقط بر اساس طبقه‌بندی کننده و سطح تصمیم‌گیری آن صورت گیرد. واضح است که اگر در تعیین خروجی از معیارهای متفاوتی برای تصمیم‌گیری استفاده شود، نتایج هم از نظر نرخ آشکارسازی و هم از نظر خطای بیهود خواهد یافت. در روش پیشنهادی از سه ملاک شباهت‌سننجی (فاصله اقلیدسی، همبستگی نرمالیزه<sup>۱</sup> و ضریب همبستگی<sup>۲</sup>) بین خروجی طبقه‌بندی کننده و یک مدل چهره استفاده گردید. مدل چهره از میانگین تعداد زیادی تصویر چهره به دست آمد. در عمل از ترکیب AND بین خروجی‌های این سه ملاک شباهت‌سننجی برای تصمیم‌گیری نهایی استفاده شده است.

همان طور که در روش Osuna مشاهده شد برای آشکارسازی از پنجره‌ای با ابعاد ثابت  $19 \times 19$  استفاده شده است. همچنین تصمیم‌گیری نهاد، ب اساس سطح آستانه ثابت صفر صهارت مرگرد و دیگر این، که

1. Normalized Correlation
  2. Correlation Coefficient

جدول 2: مقادیر سطوح آستانه مربوط به معیارهای شباهت‌سنگی.

فاصله اقلیدسی	همبستگی نرمالیزه	ضریب همبستگی
1440	0,8589	0,1736

تصویر اولیه اعمال شد. الگوهایی که به غلط چهره تشخیص داده شدند، در مراحل بعدی آموزش به عنوان نمونه‌های منفی در نظر گرفته شدند. در نهایت تعداد غیر چهره‌های به دست آمده به 4285 نمونه رسید. این عمل علاوه بر این که باعث افزایش مجموعه داده‌های مربوط به الگوهای غیر چهره می‌گردد باعث می‌شود تا نمونه‌های غیر چهره‌ای که از نقطه نظر یادگیری مفیدند انتخاب شوند.

## 2-5 تعیین سطح آستانه معیارهای شباهت‌سنگی

برای تعیین سطح آستانه معیارهای شباهت‌سنگی از یک مدل چهره از پیش تعیین شده استفاده شد. این مدل چهره از میانگین 95 چهره تثبیت شده مجموعه آموزشی تهیه شد. برای تعیین سطح آستانه از منحنی ROC به دست آمده از فاصله بین نمونه‌های موجود در پایگاه داده چهره و معیار EER<sup>1</sup> استفاده شده است. این روند برای هر سه معیار شباهت‌سنگی استفاده شده در این پژوهش به کار برده شده و نتایج در جدول 2 آمده است.

## 3-5 تعیین سطح آستانه طبقه‌بندی کننده

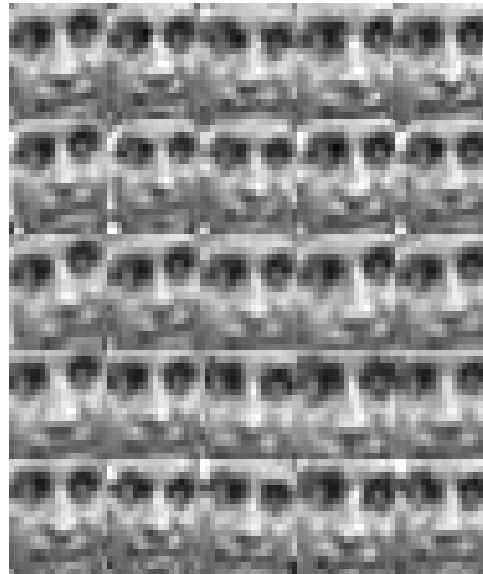
همان‌طور که قبلاً بیان شد، در روش سنتی، خروجی ماشین بردار پشتیبان با سطح آستانه صفر مقایسه می‌شود. از آنجا که انتخاب مناسب سطح آستانه تأثیر بهسازی در نتایج دارد، می‌توان برای تعیین آن از منحنی ROC استفاده کرد. به این منظور ابتدا مجموعه آموزشی (چهره + غیر چهره) به طور تصادفی به 10 قسمت مساوی تقسیم شد. سپس از 9 قسمت برای آموزش سیستم و از قسمت باقیمانده برای تست سیستم استفاده شد. این روند 10 بار تکرار شد که در هر مرحله، 9 قسمت برای آموزش و یک قسمت برای تست انتخاب گردید. برای این که این سطح آستانه دقیق‌تر انتخاب شود، این مرحله 100 دفعه تکرار شد که در هر دفعه به طور تصادفی مجموعه آموزشی به 10 قسمت تقسیم شده و مراحل قبل تکرار شد. بعد از تمام‌شدن این فرایند می‌توان منحنی ROC که بیانگر خطای منفی بر حسب خطای مثبت است را رسم نمود و با استفاده از معیار EER، سطح آستانه تصمیم‌گیری را تعیین نمود. بدین منظور نقطه‌ای از منحنی که به ازای آن خطای منفی و مثبت با هم برابرند را تعیین و سطح آستانه متناظر با آن نقطه را انتخاب می‌کنیم. توجه کنید که این سطح آستانه نیز ثابت بوده و مشکلاتی که برای سطح آستانه ثابت در فصل قبلی بیان شد همچنان پا بر جاست. این مشکلات با مطرح شدن روش پیشنهادی (استفاده از سطح آستانه وفقی) بهبود یافته است.

شکل 5 منحنی ROC به دست آمده را نشان می‌دهد. از روی این منحنی با استفاده از معیار EER، سطح آستانه برابر 0,0168 می‌شود.

## 4-5 تفسیر نتایج شبیه‌سازی

در شبیه‌سازی‌ها از کرنل چندجمله‌ای با درجه 2 استفاده گردید و  $C=200$  انتخاب شد. برخی از نتایج شبیه‌سازی در زیر آمده است.

جدول 3 نتایج حاصل از به کارگیری روش Osuna را با استفاده از



شکل 4: افزایش تعداد پایگاه داده توسط حالات مختلف نرمال‌سازی هندسی.

## 5- نتایج آزمایش‌ها

### 5-1 مجموعه داده آموزشی و آزمایشی

آزمایشات روی دو مجموعه از داده‌ها صورت گرفته است. مجموعه اول شامل 67 نمونه تصویر است که هر تصویر شامل تنها یک چهره از پایگاه داده CMU [17] می‌باشد. مجموعه دوم شامل 104 نمونه از تصاویر پایگاه داده CMU است که کلاً شامل 277 چهره می‌باشد. برای آموزش، تعداد 4285 نمونه غیر چهره و 2375 نمونه چهره استفاده شد. برای تشکیل نمونه‌های چهره برای آموزش از 95 تصویر در دسترس پایگاه داده CMU استفاده شد. در هر تصویر یک چهره با مشخص بودن محل چشم‌ها، بینی و دهان وجود دارد. با معلوم بودن محل چشم‌ها، بینی و دهان و با استفاده از نرمال‌سازی هندسی، 95 چهره استاندارد استخراج شد. این 95 چهره به گونه‌ای می‌باشد که ابعاد آنها برابر با  $19 \times 19$  و همچنین محل چشم‌ها در تمام 95 چهره یکسان می‌باشد. از آنجا که ماشین بردار پشتیبان برای داشتن عملکرد مناسب نیاز به مجموعه آموزشی بزرگ‌تر از 95 چهره دارد، بنابراین برای تهیه چنین مجموعه‌ای، از موقعیت چشم‌ها استفاده شد. بدین منظور برای هر چشم به غیر از موقعیت مرکز آن از چهار پیکسل همسایه (همسايگي مرتبه 4) نیز استفاده شد. بنابراین برای هر چشم، 5 موقعیت و در مجموع برای دو چشم می‌توان  $5 \times 5 = 25$  حالت مختلف را برای نرمال‌سازی هندسی در نظر گرفت. در هر مرحله یکی از این حالت‌ها به عنوان مرکز چشم‌ها انتخاب و تصویر تثبیت شده به دست آمده. این عمل به غیر از این که باعث افزایش تعداد چهره‌ها می‌شود، اثر اعوجاج موجود در چهره را نیز در آشکارسازی حذف می‌کند. به عنوان نمونه شکل 4 را بینید.

واضح است که به دلیل تنویر غیر چهره‌ها، تشکیل یک مجموعه آموزشی غیر چهره کامل که تمام غیر چهره‌ها را پوشش دهد امکان‌پذیر نیست. در این پژوهش برای تشکیل مجموعه غیر چهره از زمینه همان 95 تصویری که چهره آن استخراج شد، استفاده شده است. به این ترتیب که ابتدا به طور تصادفی در هر زمینه، تعدادی زیر تصویر  $19 \times 19$  پیکسلی به عنوان غیر چهره انتخاب شد. بعد از تهیه مجموعه غیر چهره اولیه، سیستم توسط مجموعه آموزشی به دست آمده، آموزش داده شد. بعد از آموزش اولیه سیستم، عمل طبقه‌بندی روی زمینه‌های باقیمانده از 95

1. Receiver Operating Characteristic

2. Equal Error Rate

جدول 4: نتایج روش OSUNA با به کارگیری تکنیک‌های متفاوت.

تکنیک مورد استفاده	مجموعه اول		مجموعه دوم	
	Dr	Fa	Dr	Fa
روش پایه با سطح آستانه صفر	%82,5	219	%88,8	496
معیارهای شباهت‌سنجدی	%65,6	94	%79,8	254
سطح وققی	%74,6	74	%79,1	154
پنجره‌های متفاوت و معیارهای شباهت‌سنجدی	%100	107	%93,8	274
سطح وققی و معیارهای شباهت‌سنجدی	%58,2	22	%68,8	56
سطح وققی و معیارهای شباهت‌سنجدی و پنجره‌های متفاوت	%98,4	19	%91,2	80

جدول 5: نتایج روش پیشنهادی با سطوح آستانه تصمیم‌گیری متفاوت.

سطح آستانه تصمیم‌گیری	مجموعه اول		مجموعه دوم	
	Dr	Fa	Dr	Fa
0	%100	89	%93,9	232
0,3	%79,4	34	%84,8	95
-0,0168	%100	117	%94,2	285
سطح وققی	%98,4	19	%91,2	80

(4) استفاده از سطح وققی همراه با استفاده از معیارهای شباهت‌سنجدی با وجودی که نرخ هشدار غلط را کاهش می‌دهد ولی باعث کاهش شدید نرخ آشکارسازی نیز می‌شود.

جدول 5 نتایج حاصل از به کارگیری الگوریتم پیشنهادی را با استفاده از سطوح آستانه تصمیم‌گیری مختلف نشان می‌دهد. مشاهده می‌شود که همان‌طور که قبل‌آمدیم، با استفاده از منحنی ROC و معیار EER، سطح آستانه بهینه برابر با  $-0,0168$  شد. همان‌طور که از جدول 3 ملاحظه می‌کنید با استفاده از این سطح آستانه، خطای هشدار غلط زیاد است.

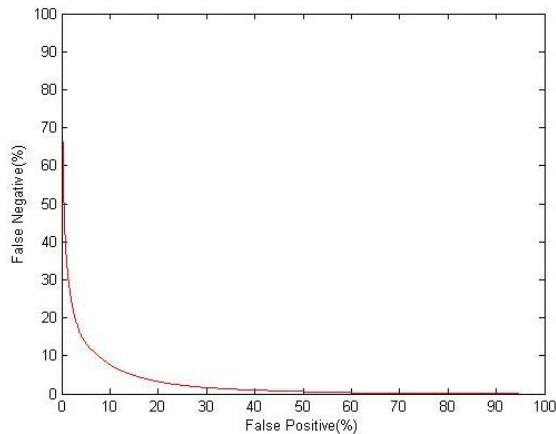
(1) اگر در آشکارسازی از سطح وققی همراه با این معیارها استفاده شود بهترین نتایج را در پی دارد.

(2) حتی اگر از سطح وققی هم استفاده نشود چون از پنجره‌های مختلف و پس‌پردازش برای تصمیم نهایی استفاده می‌شود، باز هم نتایج بهبود می‌یابد.

در اینجا نیز دیده می‌شود که استفاده از سطح آستانه  $-0,0168$  باعث بهبود قابل ملاحظه نرخ آشکارسازی می‌شود اما خطای هشدار غلط زیاد است. شکل 6 چند تصویر نمونه و نتیجه آشکارسازی نهایی را بر اساس روش پیشنهادی نشان می‌دهد.

الگوریتم پیشنهادی دارای کارایی قابل قبول است و در مقایسه با روش Osuna نتایج به طور چشم‌گیری بهتر شده است. اما نباید طولانی تر شدن مدت زمان اجرای الگوریتم را از نظر دور داشت. به هر حال استفاده از پنجره‌ها و معیارهای شباهت‌سنجدی مختلف و انتخاب سطح آستانه وققی تا حدودی به پیچیدگی زمانی الگوریتم می‌افزاید. اگر امکان اجرای الگوریتم به صورت توزیعی روی چندپردازنده باشد به طوری که عملیات اعمال پنجره‌ها و معیارهای مختلف به صورت موازی انجام شود، مشکل پیچیدگی زمانی مرتفع می‌شود. به هر حال با وجود پردازندگانی پرسرعت امروزی، جای نگرانی نیست و الگوریتم پیشنهادی در اکثر کاربردها قابل استفاده است.

همان‌طور که دیدیم تاکنون فقط بین روش پیشنهادی و روش اولیه Osuna مقایسه انجام گرفت و مقایسه‌ای با روش‌های دیگر صورت



شکل 5: منحنی ROC مربوط به ارزیابی سیستم.

جدول 3: نتایج روش OSUNA با سطوح آستانه تصمیم‌گیری متفاوت.

سطح آستانه تصمیم‌گیری	مجموعه اول		مجموعه دوم	
	Dr	Fa	Dr	Fa
0	%82,5	219	%88,8	496
0,3	%66,7	74	%77,3	166
-0,0168	%84,1	233	%90,3	507
سطح وققی	%74,6	74	%79,1	154

سطوح آستانه تصمیم‌گیری مختلف نشان می‌دهد. گاهی برای تعیین سطح آستانه بهینه طبقه‌بندی کننده از منحنی‌های ROC استفاده می‌شود (بخش 5-3). این روش زمان زیادی را به خود اختصاص می‌دهد. همان‌طور که قبل‌آمدیم، با استفاده از منحنی ROC و معیار EER، سطح آستانه بهینه برابر با  $-0,0168$  شد. همان‌طور که از جدول 3 ملاحظه می‌کنید با استفاده از این سطح آستانه، خطای هشدار غلط زیاد است. ملاحظه می‌شود که به کارگیری سطح آستانه وققی به طور چشم‌گیری خطای هشدار غلط  $0,0168$  را نسبت به سطح ثابت  $-0,0168$  کاهش می‌دهد که این امر البته باعث کاهش نرخ آشکارسازی  $(Dr)$  نیز می‌شود. در این جدول مشاهده می‌شود که هرچه سطح آستانه تصمیم‌گیری افزایش می‌یابد، نمونه‌های بیشتری از چهره از دست می‌رود ولی خطای هشدار غلط کاهش می‌یابد. دلیل این اتفاق همان‌طور که در بخش 4 بیان شد، مشخص نبودن مرز دقیق بین نمونه‌های غیر چهره و نمونه‌های چهره می‌باشد. ولی سطح وققی چون متناسب با نوع داده‌های تصویری، مرز را مشخص می‌کند، نسبت به انتخاب سطح ثابت دارای کارایی بهتری است. جدول 4 نتایج حاصل از به کارگیری الگوریتم Osuna را با به کارگیری تکنیک‌های مختلف نشان می‌دهد. نتایج نشان می‌دهند که:

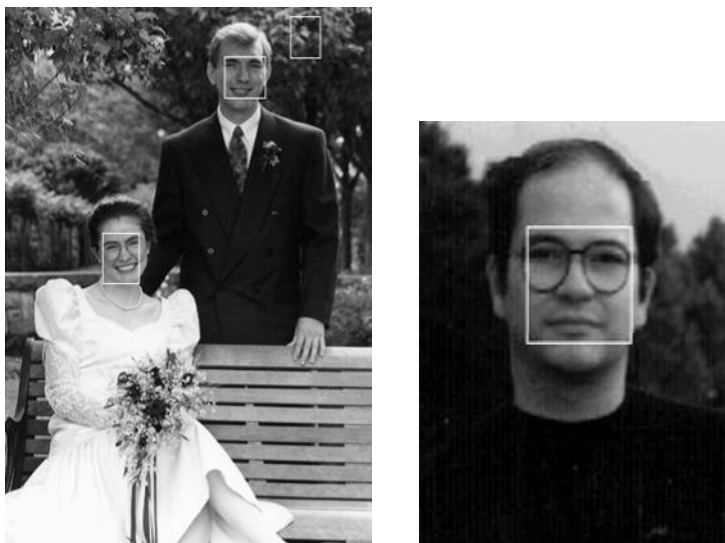
(1) هر چند استفاده از معیارهای شباهت‌سنجدی به تنها باعث کاهش نرخ هشدار غلط می‌شود ولی در مقابل نرخ آشکارسازی را هم پایین می‌آورد. علت این استفاده از قاعده AND برای ادغام نتایج حاصل از معیارهای شباهت‌سنجدی مختلف است.

(2) استفاده از سطح وققی در دسته‌بندی کننده باعث ایجاد تعادل بین نرخ آشکارسازی و نرخ هشدار غلط می‌شود.

(3) استفاده از پنجره‌های با ابعاد متفاوت همراه با استفاده از معیارهای شباهت‌سنجدی در عین حال که نرخ آشکارسازی را افزایش می‌دهد تأثیر کمی در افزایش نرخ هشدار غلط دارد.

1. False Alarm

2. Detection Rate



شکل 6: چند خروجی نمونه.

## 6- نتیجه‌گیری و پیشنهادها

در این مقاله، روشی جدید برای آشکارسازی چهره مبتنی بر ماشین بردار پشتیبان معرفی شد. در این روش، به جای استفاده از یک پنجره با ابعاد ثابت، از پنجره‌هایی با ابعاد مختلف برای آشکارسازی استفاده شد. این کار باعث افزایش دقت یا به عبارتی افزایش نرخ آشکارسازی و کاهش خطای هشدار غلط می‌گردد. همچنین از یک سطح آستانه وفقی برای تصمیم‌گیری و نیز از معیارهای شباهت‌سنجدی استفاده شد. نتایج برای تصمیم‌گیری، افزایش قابل قبول نرخ آشکارسازی و کاهش خطای هشدار غلط را در روش جدید نشان داد. با این وجود باید دقت که اجرای الگوریتم پیشنهادی نسبت به الگوریتم Osuna مدت زمان بیشتری طول می‌کشد. البته با وجود پردازندگانی پرسرعت امروزی، این مسئله مشکل حادی نیست که قابل حل نباشد.

- در اینجا برای ادامه تحقیق چند پیشنهاد مطرح می‌کنیم:
- (1) در این پژوهش از پایگاه داده CMU استفاده شده است. برای بررسی جامع‌تر می‌توان از پایگاه داده‌های دیگر نیز استفاده کرد.
  - (2) در این پژوهش از معیارهای شباهت‌سنجدی فاصله اقلیدسی، همبستگی نرمالیزه، ضریب همبستگی و همچنین ترکیب آنها استفاده شده است. می‌توان عملکرد دیگر معیارهای شباهت‌سنجدی را نیز بررسی کرد.
  - (3) در سیستم‌های آشکارسازی چهره، روش‌های پیش‌پردازش از اهمیت ویژه‌ای برخوردار هستند. در سیستم پیشنهادی از همسان‌سازی هیستوگرام برای استاندارسازی نوری استفاده شده است. ممکن است بتوان با اعمال پیش‌پردازش‌های مناسب‌تر به کارایی بهتری دست یافت.

- (4) در سیستم‌های آشکارسازی چهره روش‌های مختلفی برای استخراج ویژگی وجود دارد. در روش ارائه شده از پیکسل‌های تصویر به عنوان بردار ویژگی استفاده شد. استفاده از روش‌های استخراج ویژگی برای حصول نتایج بهتر پیشنهاد می‌شود.
- (5) در روش پیشنهادی از چهار پنجره با ابعاد متفاوت استفاده شد. اگر بتوان انتخاب این پنجره‌ها را به صورت وفقی متناسب با تصویر

نگرفته است. دلیل این است که ایده‌های جدید مطرح شده در کارهای قبلی یا مبتنی بر تغییر در ساختار ماشین بردار پشتیبان و نحوه آموزش آن و یا بر اساس تغییر در نحوه استخراج ویژگی‌ها و انجام پیش‌پردازش می‌باشند. در حالی که در این مقاله بیشتر تأکید روی ادغام نتایج روش‌های مختلف شباهت‌سنجدی، انتخاب وفقی سطح آستانه تصمیم‌گیری و انتخاب پنجره‌های مناسب بود. از طرفی پیاده‌سازی همه الگوریتم‌های موجود به دلیل مشخص نبودن برخی پارامترهای کلیدی امکان‌پذیر نبود. این حال بد نیست مقایسه‌ای هرچند ابتدایی بین کارایی روش‌های معروف مبتنی بر ماشین بردار پشتیبان داشته باشیم. واضح است که برای مقایسه جامع باید کلیه الگوریتم‌ها با دقت و در شرایط یکسان پیاده‌سازی شده و با هم مقایسه شوند.

مهم‌ترین روش‌های ارائه شده در سال‌های اخیر که نتایج قابل قبولی داشته‌اند، عبارتند از:

- (1) روش استخراج ویژگی‌ها با PCA و سپس به کارگیری SVM به عنوان طبقه‌بندی کننده [9]. در این حالت، متوسط نرخ آشکارسازی 82 درصد است که در مقایسه با الگوریتم پیشنهادی خیلی کمتر است.
- (2) روش استخراج ویژگی‌ها با PCA و سپس اعمال ICA و در نهایت به کارگیری SVM به عنوان طبقه‌بندی کننده [9]. در این حالت، متوسط نرخ آشکارسازی 86 درصد است که در مقایسه با الگوریتم پیشنهادی خیلی کمتر است.
- (3) روش استخراج ویژگی‌ها با DFA و سپس به کارگیری SVM به عنوان طبقه‌بندی کننده [10]. در این حالت با به کارگیری یک الگوریتم پیچیده چندمرحله‌ای توانسته‌اند به متوسط نرخ آشکارسازی 98/2 درصد برسند که قابل مقایسه با روش پیشنهادی در این مقاله است. روش DFA دارای نرخ هشدار غلط کمتری است، ولی پیچیدگی آن از الگوریتم پیشنهادی بیشتر است.
- (4) روش استخراج ویژگی‌ها با هیستوگرام طیف و سپس به کارگیری SVM به عنوان طبقه‌بندی کننده [11]. در این حالت، متوسط نرخ آشکارسازی 96/7 درصد و تعداد هشدار غلط 67 است که در مقایسه با الگوریتم پیشنهادی کارایی کمتری دارد.

- [12] B. Heisele, T. Serre, S. Prentice, and T. Poggio, "Hierarchical classification and feature reduction for fast face detection with support vector machines," *Pattern Recognition*, vol. 36, no. 9, pp. 2007-2017, Sep. 2003.
- [13] H. Sahbi, Coarse-to-Fine Support Vector Machines for Hierarchical Face Detection, Ph.D. Thesis, Versailles University, France, 2003.
- [14] M. Roohi, G. Mirjalily, and M. T. Sadeghi, "Face detection using a modified SVM - based classifier," in *Proc. of IEEE Int. Conf. on Computational Intelligence and Multimedia Applications, ICCIMA*, vol. 2, pp. 354-360, Dec. 2007.
- [15] G. Mirjalily, M. Roohi, and M. T. Sadeghi, "A new approach for face detection using support vector machine," in *Proc. of First Joint Congress on Fuzzy and Intelligent Systems, Ferdowsi University of Mashad*, vol. 1, pp. 435-440, Aug. 2007.
- [16] M. Roohi, *Face Detection Using Support Vector Machine*, M.Sc. Thesis, Yazd University, 2007.
- [17] [http://www.vasc.ri.cmu.edu/idb/html/face/frontal\\_images/index.html](http://www.vasc.ri.cmu.edu/idb/html/face/frontal_images/index.html)

مجید روحی در سال ۱۳۸۳ مدرک کارشناسی مهندسی برق خود را از دانشگاه آزاد اسلامی و در سال ۱۳۸۶ مدرک کارشناسی ارشد مهندسی برق - مخابرات خود را از دانشگاه یزد دریافت نمود. او در دوره کارشناسی به ضمیمه باشگاه پژوهشگران جوان درآمد که تا سال ۱۳۸۴ ادامه داشت. وی از سال ۱۳۸۷ با عنوان عضو هیأت علمی همکاری خود را در گروه برق دانشگاه آزاد اسلامی واحد شهریز آغاز نمود. زمینه تحقیقاتی مورد علاقه نامبرده پردازش تصاویر دیجیتال می باشد.

قاسم میرجلیلی در سال ۱۳۷۰ مدرک کارشناسی مهندسی برق خود را از دانشگاه فردوسی مشهد و در سال ۱۳۷۳ مدرک کارشناسی ارشد مهندسی برق - مخابرات خود را از دانشگاه صنعتی خواجه نصیرالدین طوسی دریافت نمود. پس از آن به دوره دکترای مهندسی برق - مخابرات در دانشگاه تربیت مدرس وارد گردید و در سال ۱۳۷۸ موفق به اخذ درجه دکترا از دانشگاه مذکور گردید. وی از سال ۱۳۷۹ به عنوان عضو هیئت علمی در دانشگاه یزد مشغول خدمت است و هم اکنون دانشکده مهندسی برق و کامپیوتر دانشگاه یزد و عضو ارشد IEEE می باشد. زمینه های تحقیقاتی مورد علاقه ایشان عبارتند از: پردازش سیگنال و شبکه های انتقال داده.

محمد تقی صادقی در سال ۱۳۷۰ مدرک کارشناسی مهندسی برق خود را از دانشگاه صنعتی شریف و در سال ۱۳۷۳ مدرک کارشناسی ارشد مهندسی برق - مخابرات خود را از دانشگاه تربیت مدرس دریافت نمود. از سال ۱۳۷۴ الی ۱۳۷۸ نامبرده در دانشکده مهندسی برق دانشگاه یزد به کار مشغول بود و پس از آن به دوره دکترای مهندسی برق - مخابرات در دانشگاه اندیکستان وارد گردید و در سال ۱۳۸۱ موفق به اخذ درجه دکترا از دانشگاه مذکور گردید. پس از آن به مدت دو سال در مرکز تحقیقات یینائی ماشین و پردازش اسیگنال همان دانشگاه، در زمینه سیستم های بازنایی چهره پژوهش نموده و از آن پس تاکنون استادیار دانشکده مهندسی برق و کامپیوتر دانشگاه یزد می باشد. همکاری پژوهشی نامبرده با مرکز تحقیقات یینائی ماشین و پردازش اسیگنال دانشگاه ساری همچنان ادامه دارد. زمینه های علمی مورد علاقه نامبرده عبارتند از: بازنایی الگو، پردازش تصویر و یینایی ماشین.

ورودی انجام داد مناسب تر به نظر می رسد.

(6) این پژوهش بر اساس تصاویر سطح خاکستری بود. می توان الگوریتم را برای تصاویر رنگی نیز بسط داده و مورد آزمایش قرار داد.

(7) استفاده از یک پایگاه داده آموزشی مشخص و پیاده سازی دقیق روش هایی که تاکنون مطرح شده به منظور مقایسه جامع بین روش های مختلف، مناسب به نظر می رسد.

## 7 - سپاس گزاری

این تحقیق با حمایت مالی مرکز تحقیقات مخابرات ایران به انجام رسیده است که در اینجا قدردانی خود را از مرکز نامبرده اعلام می داریم.

## مراجع

- [1] M. Yang, D. J. Kriegman, and N. Ahuja, "Detecting faces in images: a survey," *IEEE Trans. on Pattern Analysis and Machine Intelligence*, vol. 24, no. 1, pp. 34-58, Jan. 2002.
- [2] C. J. C. Burges, "A tutorial on support vector machines for pattern recognition," *Data Mining and Knowledge Discovery*, vol. 2, no. 2, pp. 121-158, Jun. 1998.
- [3] E. Osuna, R. Freund, and F. Girosi, "Support Vector Machines: Training and Applications," A. I. Memo, No. 1602, MIT A. I. Lab., 1997.
- [4] E. Osuna, R. Freund, and F. Girosi, "Training support vector machines: an application to face detection," in *Proc. IEEE Conf. Computer Vision and Pattern Recognition*, vol. 1, pp. 130-136, Jun. 1997.
- [5] N. Cristianini and J. Shawe - Taylor, *An Introduction to Support Vector Machines*, Cambridge University Press, 2000.
- [6] B. Murtagh and M. Saunders, "Large-scale linearly constrained optimization," *Mathematical Programming*, vol. 14, no. 1, pp. 41-72, Dec. 1978.
- [7] <http://SVMlight.joachims.org>.
- [8] C. Shavers, R. Li, and G. Lebby, "An SVM-based approach to face detection," in *Proc. of 38th Southeastern Symp. on System Theory*, vol. 1, pp. 362-366, US, Mar. 2006.
- [9] Q. Gao, Q. Pan, H. Zhang, Y. Cheng, and Q. Tian, "Face detection using SVM trained in independent space," in *Proc. of the Third Int. Conf. on Machine Learning and Cybernetics*, vol. 6, pp. 3674-3677, Shanghai, Aug. 2004.
- [10] P. Shih and C. Liu, "Face detection using discriminating feature analysis and support vector machine," *Elsevier Pattern Recognition J.*, vol. 39, no. 2, pp. 260-276, Feb. 2006.
- [11] A. Wring and X. Liu, "Face detection using spectral histograms and SVMs," *IEEE Trans. Systems, Man, and Cybernetics - Part B: Cybernetics*, vol. 35, no. 3, pp. 467-476, Jun. 2005.